

КВАНТОВАЯ ХИМИЯ  
НЕОРГАНИЧЕСКИХ СОЕДИНЕНИЙ

УДК 541.634

ПОТЕНЦИАЛЬНАЯ ФУНКЦИЯ ВНУТРЕННЕГО ВРАЩЕНИЯ  
МОНОХЛОРАЦЕТАЛЬДЕГИДА В ОСНОВНОМ ЭЛЕКТРОННОМ  
СОСТОЯНИИ. КВАНТОВО-ХИМИЧЕСКИЙ РАСЧЕТ

© 2000 г. В. А. Батаев, И. А. Годунов

Московский государственный университет им. М.В. Ломоносова, Химический факультет

Рассмотрена применимость квантово-химических приближений различного уровня (RHF, MP2, CASSCF, CISD) для описания необычной для молекул с замещенными метильными волчками формы потенциальной кривой внутреннего вращения (имеющей, по существу, две потенциальные ямы) в молекулеmonoхлорацетальдегида  $\text{CClH}_2\text{CHO}$  в основном электронном состоянии. Установлено, что все использованные квантово-химические методы, различающиеся как способом учета электронной корреляции, так и степенью полноты базиса АО (в том числе и использующие приближение эффективного оставного потенциала) корректно описывают сложную форму потенциала внутреннего вращения в области, соответствующей *транс*-конформеру. Обнаружена существенная связь торсионного движения со скелетными колебаниями молекулы. Получено хорошее согласие с имеющимися экспериментальными данными.

Настоящая работа является частью наших систематических исследований строения конформационно нежестких молекул в основных и возбужденных электронных состояниях [1–3]. Недавно мы получили электронно-колебательный спектр молекулы  $\text{CClH}_2\text{CHO}$ , а также начали неэмпирические квантово-химические расчеты молекул  $\text{CRR}'\text{R}''\text{CHO}$  ( $\text{R}', \text{R}'' = \text{H}, \text{Cl}$ ) в основных и низших возбужденных триплетных состояниях [4]. В данной работе рассмотрена применимость ряда неэмпирических методов для описания тонких конформационных эффектов, экспериментально наблюдавшихся для молекулы monoхлорацетальдегида  $\text{CClH}_2\text{CHO}$  в основном электронном состоянии.

Ранее [5–7] для этого соединения отмечались сложность конформационных равновесий и их существенное различие в конденсированной фазе или растворах и в газовой фазе. Как было установлено методами микроволновой спектроскопии, в газовой фазе существуют только *цис*- и *транс*-конформеры (по отношению к двугранному углу ClCCO) [8]. Анализ этих данных [8, 9] и электронографическое исследование [10] установили необычную для молекул с замещенными метильными волчками форму потенциала внутреннего вращения: плоский и широкий минимум в окрестности основного (~94%) *транс*-конформера с небольшим “горбиком” при  $180^\circ$ , высота которого составляет ~60% от энергии нулевого уровня, а положения минимумов (*гоши*-конформаций) отвечают отклонению двугранного угла ClCCO от  $180^\circ$  на  $\sim 17^\circ$ .

Расчеты методом Хартри–Фока в базисах 3-21G\* и 6-31G\*, а также с использованием теории возмущений Меллера–Плессета второго по-

рядка в базисе 3-21G\* позволили авторам [11] воспроизвести качественно описанную форму потенциала.

МЕТОДЫ РАСЧЕТА

Для анализа устойчивости оценок параметров потенциала мы выбрали ограниченный вариант метода Хартри–Фока (RHF), теорию возмущений Меллера–Плессета второго порядка на его основе (MP2), а также метод конфигурационного взаимодействия с учетом одно- и двукратно возбужденных конфигураций (CISD). Расчеты проводились также многоконфигурационным методом ССП (MCSCF) в варианте CASSCF, в активное пространство которого были включены орбитали, близкие к граничным и локализованные в основном на карбонильном фрагменте:  $\sigma_{\text{CO}}$ ,  $\pi_{\text{CO}}$ ,  $n_{\text{O}}$ ,  $\pi_{\text{CO}}^*$ ,  $\sigma_{\text{CO}}^*$ . Выбор методов обусловлен возможностью корректного сравнения полученных результатов с планируемыми расчетами электронно-возбужденных состояний этой молекулы. Расчеты выполнялись с помощью программного пакета GAMESS [12] в базисах АО от 6-31G\*\* до 6-311++G\*\*, дополненного  $f$ -функциями на тяжелых атомах; применялось также приближение псевдопотенциала Стивенса–Баша–Краусса (SBK) [13] для того, чтобы оценить применимость этого сравнительно простого подхода к задаче о торсионном движении.

ТОРСИОННЫЙ ПОТЕНЦИАЛ

Найденные оценки параметров потенциала внутреннего вращения (величины разности энер-

**Таблица 1.** Характеристики критических точек на потенциальной кривой внутреннего вращения монохлоратальдегида

Метод	Энергии, см <sup>-1</sup>			Φ, град.		Метод	Энергии, см <sup>-1</sup>			Φ, град.	
	ΔE	TS	h	TS	гош		ΔE	TS	h	TS	гош
RHF/3-21G* [11]	157	903	86	—	142.0	MP2/6-31++G**	451	—	26	—	152.4
RHF/6-31G* [11]	509	694	12	—	155.0	RHF/6-311++G**	608	—	37	—	159.7
MP2/6-31G* [11]	272	767	0	—	180.0	MP2/6-311++G**	409	—	78	—	143.7
RHF/6-31G**	499	718	12	59.7	156.7	RHF/6-311++G** (f)	583	—	31	—	151.1
MP2/6-31G**	255	760	13	61.2	156.1	MP2/6-311++G** (f)	363	—	53	—	147.4
CASSCF/6-31G**	505	—	56	—	145.4	RHF/SBK (p, d)	583	—	32	—	151.1
CISD/6-31G**	351	—	13	—	156.6	MP2/SBK (p, d)	319	—	61	—	145.2
RHF/6-31++G**	670	643	16	57.6	155.5	CISD/SBK (p, d)	414	—	54	—	146.4

Обозначения см. рисунок.

**Таблица 2.** Параметры потенциала  $V(\phi)$  внутреннего вращения (см<sup>-1</sup>)

Метод	$-V_1$	$V_2$	$V_3$	$V_4$	$-V_5$	$-V_6$
RHF/6-31G**	981.4	550.4	509.5	59.5	14.9	14.9
MP2/6-31G**	707.1	542.0	479.7	70.7	14.5	19.2
RHF/SBK (p, d)	1092.1	527.9	556.6	58.7	15.6	17.2
RHF/6-311++G** (f)	1076.5	488.1	539.5	63.3	16.0	16.7
CASSCF/6-31G**	911.2	370.5	470.5	45.4	8.3	13.5

гий конформеров и потенциальных барьеров) хорошо согласуются с описанными выше предположениями о его форме (см. табл. 1). Исключение составляют данные [11] об отсутствии "горбика" при расчете методом MP2/6-31G\*.

Высота "горбика" в зависимости от метода расчета колеблется от 12 до 78 см<sup>-1</sup> (при малой величине барьера такой разброс значений следует считать незначительным). Учет электронной корреляции по теории возмущений Меллера-

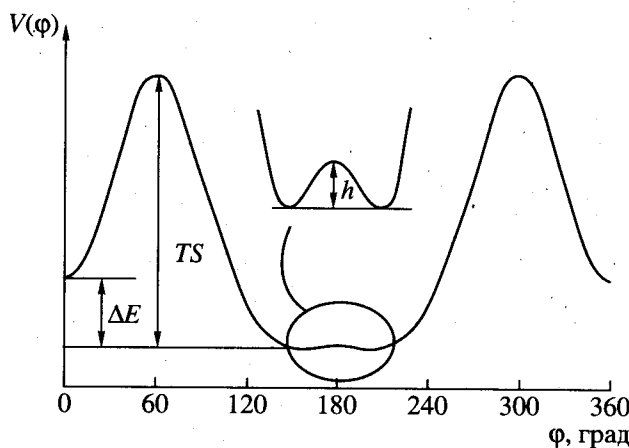
Плессета или с помощью метода CASSCF для одного и того же базиса АО увеличивает высоту и ширину "горбика". Расширение стандартного базисного набора 6-31G\*\* приводит к тому же эффекту. Базис SBK с эффективным остовным потенциалом [13] близок по качеству к базису 6-311++G\*\* (f).

Весьма чувствительна к выбору метода расчета оказалась разность энергий *цикло-* и *гош*-конформаций  $\Delta E$  (от 255 до 670 см<sup>-1</sup>). При одинаковых базисах АО и теория возмущений, и метод конфигурационного взаимодействия заметно снижают значение  $\Delta E$ .

Более детально форма торсионного потенциала была исследована с помощью следующих методов: RHF/6-31G\*\*, MP2/6-31G\*\*, RHF/SBK (p, d), RHF/6-311++G\*\* (f) и CASSCF/6-31G\*\*. В качестве торсионной координаты выбирался двугранный угол ClCCO с шагом изменения 15 град, все остальные геометрические параметры молекулы оптимизировались. Полученный потенциал приближался функцией вида

$$V(\phi) = \frac{1}{2} \sum_{k=1}^N V_k (1 - \cos k\phi), \quad (1)$$

коэффициенты  $V_k$ , которых даны в табл. 2. Интересно отметить (см. табл. 2), что наиболее чувствительным к методу расчета оказывается коэффи-



Потенциальная функция внутреннего вращения молекулы монохлоратальдегида в основном электронном состоянии (MP2/6-31G\*\*).

Таблица 3. Геометрические параметры *гош*-конформации

Параметр	Эксперимент		6-31G**				6-311++G**( <i>f</i> )		SBK ( <i>p, d</i> )		
	ЭД	МВС	RHF	MP2	CASSCF	CISD	RHF	MP2	RHF	MP2	CISD
<i>r</i> (C=O)	1.206(3)	1.206(18)	1.184	1.220	1.221	1.201	1.178	1.208	1.197	1.234	1.215
<i>r</i> (C—C)	1.521(5)	1.524(15)	1.515	1.516	1.510	1.513	1.514	1.514	1.529	1.535	1.532
<i>r</i> (C—H <sub>a</sub> )	1.093(12)	1.105*	1.093	1.103	1.088	1.096	1.094	1.087	1.109	1.121	1.115
<i>r</i> (C—Cl)	1.782(4)	1.784(15)	1.783	1.776	1.786	1.755	1.784	1.767	1.782	1.781	1.779
<i>r</i> (C—H <sub>1</sub> )	1.093(12)	1.093*	1.078	1.086	1.078	1.081	1.078	1.091	1.091	1.102	1.096
<i>r</i> (C—H <sub>2</sub> )	1.093(12)	1.093*	1.082	1.089	1.081	1.084	1.082	1.095	1.094	1.106	1.100
∠CCO	123.3(6)	122.0*	121.4	121.7	121.4	121.6	122.0	122.5	121.8	122.4	122.2
∠CCH	112.4(38)	116.0*	116.3	115.8	117.0	116.1	116.0	115.4	116.1	115.6	115.8
∠CCCl	110.4(3)	109.21(38)	111.6	111.4	111.0	111.5	111.1	110.4	111.1	110.8	110.9
∠CCH <sub>1</sub>	110.3(15)	110.3*	109.9	109.4	110.1	109.5	110.2	109.6	109.8	109.4	109.5
∠CCH <sub>2</sub>	110.3(15)	110.3*	109.4	109.1	110.1	109.1	109.2	108.5	108.9	108.6	108.7
∠CH <sub>a</sub> (вых.)	0*	0*	1.3	1.4	1.5	1.3	1.3	1.4	1.4	1.3	1.8
∠H <sub>1</sub> CH <sub>2</sub>	109.5*	109.5*	109.4	109.1	109.7	109.1	109.8	109.7	109.7	109.7	109.7
∠CICCO	180*	180*	156.7	156.1	145.4	156.6	151.1	147.4	151.1	145.2	146.4

Примечание. ЭД – данные электронной дифракции [10], МВС – геометрические параметры получены [11] с использованием данных микроволновой спектроскопии [8]. Звездочкой отмечены принятые значения геометрических параметров. Межъядерные расстояния даны в Å, а углы – в градусах.

Таблица 4. Геометрические параметры *цис*-конформера

Параметр	МВС	6-31G**				6-311++G**( <i>f</i> )		SBK ( <i>p, d</i> )		
		RHF	MP2	CASSCF	CISD	RHF	MP2	RHF	MP2	CISD
<i>r</i> (C=O)	1.203*	1.181	1.217	1.217	1.198	1.174	1.205	1.193	1.231	1.212
<i>r</i> (C—C)	1.510(15)	1.511	1.513	1.509	1.510	1.510	1.512	1.526	1.534	1.530
<i>r</i> (C—H <sub>a</sub> )	1.105*	1.097	1.106	1.092	1.099	1.099	1.112	1.113	1.124	1.118
<i>r</i> (C—Cl)	1.767(13)	1.768	1.763	1.772	1.761	1.769	1.753	1.768	1.766	1.765
<i>r</i> (C—H <sub>1,2</sub> )	1.093*	1.083	1.091	1.082	1.085	1.083	1.095	1.095	1.107	1.101
∠CCO	126.0*	126.1	125.8	125.6	125.9	126.5	126.0	126.5	126.2	126.3
∠CCH <sub>a</sub>	113.0*	112.4	112.4	113.5	112.5	112.2	112.4	112.2	112.3	112.3
∠CCCl	113.42(24)	114.0	113.5	113.9	113.8	114.4	113.8	114.4	114.1	114.3
∠CCH <sub>1,2</sub>	109.7*	108.8	108.5	109.2	108.5	108.5	107.8	108.2	107.7	107.9
∠H <sub>1</sub> CH <sub>2</sub>	107.5*	107.9	107.6	108.0	107.7	108.0	107.8	108.1	107.8	107.9

Примечания см. табл. 3.

циент  $V_1$  ряда (1), связанный прежде всего, с величиной разности энергий конформеров. На рисунке приведена потенциальная функция внутреннего вращения, полученная методом MP2/6-31G\*\*.

Геометрические параметры *гош*- и *цис*-конформаций молекулы монохлорацетальдегида (табл. 3, 4) достаточно хорошо согласуются с экспериментальными оценками [8, 11]. Однако следует учитывать, что обработка экспериментальных данных в [11] проводилась в предположении  $C_s$ -симметричной (т.е. *транс*-) конформации, что не могло не повлиять на оценки остальных геометрических параметров. Как это обычно имеет место при расчетах молекул карбонильных соедине-

ний, длина CO-связи, полученная методом Хартри–Фока, несколько занижена по сравнению с экспериментальной, учет электронной корреляции увеличивает это значение. Различные наборы АО в рамках одного метода в целом дают весьма близкие результаты. Использование псевдопотенциала в различных приближениях (RHF, MP2 и CISD) приводит к вполне удовлетворительным значениям геометрических параметров.

В табл. 5 приведены рассчитанные и экспериментальные значения вращательных постоянных монохлорацетальдегида. Видно, что для *цис*-конформера рассчитанные и экспериментальные значения для *транс*-конформера находятся ме-

**Таблица 5.** Экспериментальные и рассчитанные значения вращательных постоянных (МГц) и их относительные отклонения ( $\Delta$ , %)

Метод	Конформация	A	B	C	$\Delta A$	$\Delta B$	$\Delta C$
RHF/6-31G**	<i>цис</i>	15568	3827	3131	2.5	-0.8	-0.2
	<i>гости</i>	33143	2712	2576	-1.4	0.7	1.1
	<i>транс</i>	35857	2680	2533	6.7	-0.5	-0.7
MP2/6-31G**	<i>цис</i>	15057	3854	3128	-0.9	-0.1	-0.3
	<i>гости</i>	32757	2687	2555	-2.5	-0.2	0.2
	<i>транс</i>	35608	2655	2509	5.9	-1.4	-1.6
CASSCF/6-31G**	<i>цис</i>	15139	3731	3115	-0.3	-0.7	-0.6
	<i>гости</i>	30357	2719	2599	-9.7	0.9	2.0
	<i>транс</i>	35764	2651	2506	6.4	-1.6	-1.7
CISD/6-31G**	<i>цис</i>	15352	38556	3141	1.1	-0.1	0.2
	<i>гости</i>	33138	2708	2573	-1.4	0.5	0.9
	<i>транс</i>	35888	2676	2529	6.8	-0.6	-0.8
RHF/SBK ( <i>p, d</i> )	<i>цис</i>	15440	3753	3078	1.6	-2.7	-1.9
	<i>гости</i>	31300	2705	2575	-6.9	0.4	1.0
	<i>транс</i>	35152	2656	2509	4.6	-1.4	-1.6
MP2/SBK ( <i>p, d</i> )	<i>цис</i>	14914	3740	3049	-1.8	-3.1	-2.8
	<i>гости</i>	29463	2683	2563	-12.3	-0.4	0.5
	<i>транс</i>	34748	2613	2469	3.4	-3.0	-3.2
CISD/SBK ( <i>p, d</i> )	<i>цис</i>	15181	3753	3068	-0.1	-2.7	-2.2
	<i>гости</i>	30010	2704	2580	-10.7	0.4	1.2
	<i>транс</i>	34998	2637	2491	4.1	-2.1	-2.3
RHF/6-311++G** ( <i>f</i> )	<i>цис</i>	15721	3798	3117	3.5	-1.6	-0.6
	<i>гости</i>	31789	2737	2605	-5.4	1.6	2.2
	<i>транс</i>	35783	2684	2536	6.5	-0.3	-0.5
MP2/6-311++G** ( <i>f</i> )	<i>цис</i>	15284	3852	3137	0.6	-0.2	0.1
	<i>гости</i>	30497	2754	2625	-9.3	2.2	2.9
	<i>транс</i>	35469	2683	2534	5.5	-0.4	-0.6
Эксперимент [8]	<i>цис</i>	15189.9	3858.5	3135.55			
	<i>транс</i>	33609.44	2693.64	2549.46			

ду рассчитанными для *транс*- и *гости*-конформаций, что соответствует их усреднению по соответствующему колебательному состоянию.

Интересен вопрос об изменении геометрических параметров молекулы в процессе торсионного движения несимметричного волчка. Даже для молекулы ацетальдегида с симметричным волчком было установлено, что внутреннее вращение является многомерным процессом [14–16], связанным со скелетными колебаниями молекулы. В работе [17] была предложена трехмерная модель внутреннего вращения в ацетальдегиде, учитывающая кроме торсионного движения неплоское колебание карбонильного фрагмента и плоское деформационное ССО-колебание. Можно ожидать, что в случае асимметричного волчка  $\text{CCN}_2$  эти эффекты будут более значительными. В процессе торсионного движения угол выхода СН-связи альдегидной группы из плоскости ССО и валентный

угол ССО меняются на ~5–6 град (MP2/6-31G\*\*), в то время как для ацетальдегида (RHF/6-311++G\*\*) и родственной молекулы с симметричным волчком фторала  $\text{CF}_3\text{CHO}$  (RHF/6-31G\*\*) эти изменения не превышают 2 град [18].

## ТОРСИОННЫЕ КОЛЕБАНИЯ

Для расчета спектра торсионных колебаний проводилось численное решение одномерного уравнения Шредингера [19] с гамильтонианом

$$\hat{H}(\phi) = -\frac{d}{d\phi}F(\phi)\frac{d}{d\phi} + V(\phi), \quad (2)$$

где  $V(\phi)$  – эффективный потенциал внутреннего вращения, представленный в форме (1), а  $F(\phi) = h/8\pi^2 c I_{\text{пр}}$  – приведенная вращательная постоянная ( $I_{\text{пр}}$  – приведенный момент инерции). Функция

Таблица 6. Частоты торсионных переходов ( $\text{см}^{-1}$ )

Метод	$0 \rightarrow 1$	$1 \rightarrow 2$	$2 \rightarrow 3$	$3 \rightarrow 4$	$4 \rightarrow 5$	$0 \rightarrow 1$	$1 \rightarrow 2$	$2 \rightarrow 3$	$3 \rightarrow 4$	$4 \rightarrow 5$
	<i>цис</i> -конформер					<i>транс</i> -конформер				
RHF/6-31G**	148	137	124	110	88	20	37	41	45	48
MP2/6-31G**	146	136	125	112	96	18	35	38	41	44
RHF/SBK ( <i>p, d</i> )	149	138	125	109	—	11*	38	37	44	47
CASSCF/6-31G**	131	119	105	86	—	4*	40	26	38	40
RHF/6-31++G**( <i>f</i> )	147	136	123	104	—	12*	37	37	43	47

\* Торсионное расщепление нулевого колебательного уровня.

Таблица 7. Рассчитанные и экспериментальные частоты ( $\text{см}^{-1}$ ) и формы колебаний для *транс*-конформера  $\text{CClH}_2\text{CHO}$ 

№	Форма колебания	Опыт [6]	6-31G**		6-31++G**		6-311++G**	
			RHF	MP2	RHF	MP2	RHF	MP2
1	$\text{CH}_2$ (вал. асим.)	2962 2947}	3338	3252	3338	3247	3319	3198
2	$\text{CH}_2$ (вал. сим.)	2853 2846 2837}	3259	3169	3258	3160	3238	3111
3	$\text{CH}_a$ (вал.)	2821 2811 2800}	3181	3053	3188	3062	1349	2994
4	CO (вал.)	1761 1751 1744}	2034	1790	2016	1763	2003	1765
5	$\text{CH}_2$ (ножн.)	1427 1410}	1582	1506	1578	1492	1578	1471
6	CHO (деф.)	1375	1537	1447	1532	1438	1526	1430
7	$\text{CH}_2$ (веерн.)	1252 1244 1236}	1404	1327	1405	1327	1397	1313
8	$\text{CH}_2$ (кругл.-деф.)	1208	1313	1229	1312	1213	1306	1209
9	CC (вал.)	1041 1027}	1128	1086	1128	1086	1122	1079
10	CHO (непл.)	943 930}	1146	1065	1145	1059	1142	1053
11	$\text{CCl}$ (вал.)*	812 800}	877	853	876	849	879	853
12	$\text{CH}_2$ (маятн.)*	744 736}	769	730	768	730	764	731
13	CCO (деф.)	470 455}	494	468	495	468	496	469
14	$\text{CCCl}$ (деф.)	290 275}	305	285	306	288	309	297
15	$\text{CClH}_2$ (торс.)	—	47	45	61	53	61	64

\* Колебания переотнесены по сравнению с работой [6] на основании расчета форм колебаний, проведенного в данной работе.

Таблица 8. Рассчитанные и экспериментальные частоты ( $\text{см}^{-1}$ ) и формы колебаний для *цис*-конформера  $\text{CClH}_2\text{CHO}$ 

№	Форма колебания	Опыт [6]	6-31G**		6-31++G**		6-311++G**	
			RHF	MP2	RHF	MP2	RHF	MP2
1	$\text{CH}_2$ (вал. асим.)	2991 2983	3289	3211	3288	3202	3269	3152
2	$\text{CH}_2$ (вал. сим.)		3235	3148	3235	3139	3219	3093
3	$\text{CH}_a$ (вал.)	3126	3013	3128	3015	3089	2947	
4	CO (вал.)	2052	1806	2034	1780	2022	1783	
5	$\text{CH}_2$ (ножн.)	1581	1501	1575	1485	1572	1461	
6	CHO (деф.)	1534	1442	1529	1431	1523	1420	
7	$\text{CH}_2$ (веерн.)	1454	1364	1455	1361	1448	1341	
8	$\text{CH}_2$ (круг.-деф.)	1127 1117	1333	1245	1330	1222	1326	1216
9	CHO (непл.)		1148	1072	1147	1065	1144	1054
10	CC (вал.)	1031	988	1031	987	1022	977	
11	$\text{CCl}$ (вал.) <sup>a</sup>	775	681	801	679	796	678	794
12	$\text{CH}_2$ (мятн.)		771	719	769	712	763	700
13	CCO (деф.) <sup>a</sup>	640 630 624	836	656	833	651	830	652
14	$\text{CCl}$ (деф.)		235	222	230	217	229	216
15	$\text{CClH}_2$ (торс.)	146 <sup>b</sup>	162	159	158	148	162	150

<sup>a</sup> Колебания имеют более сложную форму (включающую изменение геометрических параметров  $\text{CCl}$ , CCO и CC).

<sup>b</sup> Данные получены при исследовании твердого образца при  $-180^\circ\text{C}$ .

$F(\phi)$  определялась вдоль оптимизированного пути торсионного движения в виде

$$F(\phi) = \sum_{k=0} F_k \cos k\phi \quad (3)$$

по вычисленным в каждой точке геометрическим параметрам молекулы.

Рассчитанные частоты торсионных переходов приведены в табл. 6. Экспериментальное [6] значение торсионной частоты ( $146 \text{ см}^{-1}$ ) для твердого состоянияmonoхлорацетальдегида очень близко к оценке, полученной для *цис*-конформера (а не *транс*!).

Интересно, что при изменении метода расчета торсионные частоты меняются мало; наибольшие отклонения связаны с методом CASSCF. Так, хотя разности энергий между конформерами, рассчитанные RHF и MP2 в базисе 6-31G\*\*, различаются в ~2 раза, частоты торсионных переходов для каждого из конформеров практически не зависят от метода расчета.

Как было отмечено выше, авторы работы [9] оценили высоту "горбика" в ~60% от энергии нулевого уровня. Наш анализ системы торсионных уровней дает следующие оценки: RHF/6-31G\*\* –

86%, MP2/6-31G\*\* – 95%, RHF/6-311++G\*\*(*f*) – 146%, RHF/SBK(*p, d*) – 150%, CASSCF/6-31G\*\* – 203%. Поэтому для методов, в которых высота "горбика" выше нулевого уровня, переходы, обозначенные в табл. 6 как 0 → 1, на самом деле отвечают торсионному расщеплению нулевого уровня.

Гармонические частоты колебаний молекулы monoхлорацетальдегида для *цис*- и *транс*-конформации приведены в табл. 7 и 8 и в целом согласуются с имеющимися экспериментальными данными. Как следовало ожидать, значения торсионной частоты для *цис*-конформера, полученные с помощью гамильтонiana (2), близки к экспериментальному и гармоническим. Однако для *транс*-конформера пологость потенциала в гармоническом приближении может приводить к некорректным оценкам.

Заметная связь торсионного движения со скелетными колебаниями молекулы, возможно, требует применения многомерных моделей. Однако, и одномерная модель вращения (с учетом изменения геометрии вдоль пути реакции) может давать относительно устойчивые оценки энергий торсионных переходов.

В заключение авторы выражают глубокую благодарность В.И. Пупышеву за полезное обсуждение материалов статьи.

Работа выполнена при финансовой поддержке Российского фонда фундаментальных исследований (коды проектов № 96-15-97469 и № 98-03-33233а).

### СПИСОК ЛИТЕРАТУРЫ

1. Годунов И.А., Яковлев Н.Н. // Журн. структур. химии. 1995. Т. 36. № 2. С. 269.
2. Батаев В.А., Пупышев В.И., Годунов И.А. // Журн. физ. химии. В печати.
3. Bataev V.A., Pupyshev, V.I., Godunov I.A. // J. Mol. Struct. 1999. V. 481. P. 263.
4. Батаев В.А., Кудич А.В., Михайлов М.Н. и др. // Матер. Всерос. школы-конф. им. В.А. Фока по квантовой и вычислительной химии. Новгород, 14–19 декабря 1998 г. (<http://qcc.ioc.ac.ru/fock/proceedings/1/70/tesis-1.html>).
5. Beliani J, Williams R.L. // J. Chem. Soc. 1958. P. 3465.
6. Lucazeau G., Novak A. // J. Chim. Phys., Physicochim. Biol. 1970. V. 67. P. 1614.
7. Karabatsos G.J., Fenoglio D.J. // J. Amer. Chem. Soc. 1969. V. 91. P. 1124.
8. Ford R.G. // J. Chem. Phys. 1975. V. 65. № 1. P. 354.
9. Mallow T.B., Jr., Carreira L.A. // Ibid. 1977. V. 66. № 9. P. 4246.
10. Dyngeseth S., Schei H., Hagen K. // J. Mol. Struct. 1983. V. 102. P. 45.
11. Durig J.R., Phan H.V., Little T.S., Van der Veken B.J. // J. Mol. Struct. (Theochem.). 1989. V. 202. P. 143.
12. Schmidt M.W., Baldridge K.K., Boatz J.A. et al. // J. Comput. Chem. 1993. V. 14. P. 1347.
13. Stevens W.J., Basch H., Krauss M. // J. Chem. Phys. 1984. V. 81. № 12. P. 6026.
14. Ozkabak A.G., Goodman L. // Ibid. 1992. V. 96. P. 5958.
15. Goodman L., Leszczynski J., Kundu T. // Ibid. 1994. V. 100. P. 1274.
16. Niño A., Muñoz-Caro C., Moule D.C. // J. Phys. Chem. 1994. V. 98. P. 1519.
17. Niño A., Muñoz-Caro C., Moule D.C. // Ibid. 1995. V. 99. P. 8510.
18. Батаев В.А., Пупышев В.И., Годунов И.А. // Журн. структур. химии. 1998. Т. 39. № 3. С. 514.
19. Абраменков А.В. // Журн. физ. химии. 1995. Т. 69. С. 1048.